

13. 東京に於ける地盤沈下の研究 VI.

— 土の機械的性質に関する一観察 —

地震研究所 宮 部 直 已
東京市土木試験所 稲 葉 佳

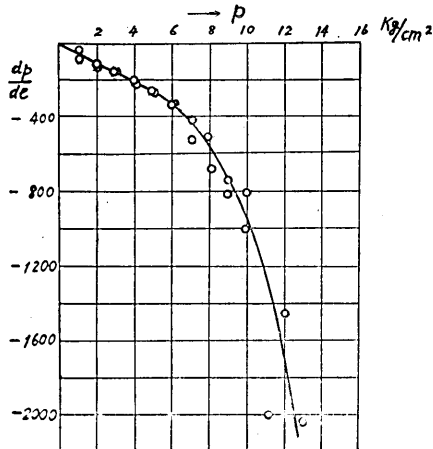
(昭和 16 年 11 月 20 日發表——昭和 16 年 12 月 20 日受理)

1. 東京に於ける地盤沈下の現象の探究に於いて、その原因が何れにあるにせよ、沈下地域の表面を蔽ふ軟土の物理的な性質を検討することは重要な仕事である。言ふまでもなく、沈下現象の大部分は、斯様な土の收縮によつて生ずると考へられてゐるからである。¹⁾

沈下現象を粘土層の自重又は他の外力による收縮と考へ土の壓密化の實驗的研究を行ひ、その結果を應用して説明する方法がある。²⁾ これも考へ得る一つの沈下過程であるので、この追試が行はれたが大體從來と同じやうな結果を得た。その結果に就いては、別に新らしいこともないで、之を述べることを割愛する。唯一寸注意したいのは、載荷強度 p と、容積(間隙比)變化に對する載荷強度變化の割合 dp/de との關係は簡単な直線的關係ではなく、それが

$$\frac{dp}{de} = Ap + B$$

の如き直線的關係で表はされるのは、 p の比較的小さい間で、而も、それは近似的な關係であるといふことである。第 1 圖は追試において求められた dp/de と p との關係の 1 例を示す圖である。即ち p が $12 \sim 13 \text{ kg/cm}^2$ から $17 \sim 18 \text{ kg/cm}^2$ 位までの間で dp/de が、かなり急激に大きくなり、つまり變形し難くなるのである。



第 1 圖

1) 宮部直己 地震研究報 16 (1938), 721—756 等。

2) 渡邊 貫 地震 9 (1937), 143—158.

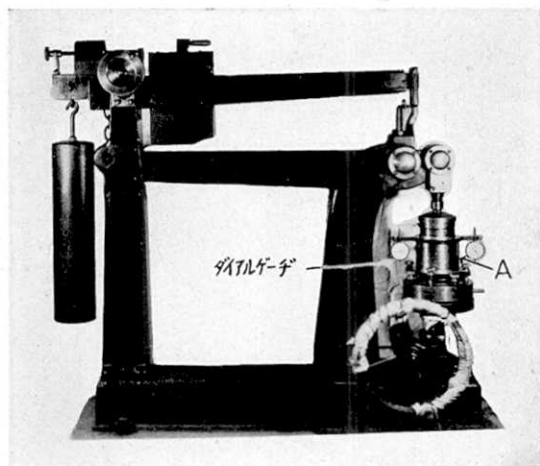
このことは、さう簡単には説明されない。この載荷による土の収縮の実験に於いては、水分が土の試料中から排出される速さが問題となつてくるので、従つて載荷の方法——如何なる時間的間隔を以て、如何程宛荷重を増してゆくかといふやうなことが關係を持つことは明かである。このことが、複雑な土の機械的成分と連関して事柄を一層複雑にしてゐるのに對して、載荷一變形の試験方法は少し單純過ぎるやうである。

そこで、茲には、上記実験の結果の検討を兼ねて、尙、載荷が繰返される場合の變形につき、實驗的な研究の結果を述べることにした。この実験は、今後尙種々方法を變へて行はれるであらうと思はれる實驗的研究の一部である。結果も充分であるとは言へず、實驗方法にも考慮すべき點があるが、幾分かは、沈下現象研究の参考にもなりさうに思はれるので、とりあへず、行つただけの實驗結果をこゝに報告する次第である。

2. 實驗の方法は極めて簡単なものである。第2圖に示した様な裝置を用ひ、Aの部分に土の試料を入れ、横杆により荷重を加へ、その時の加壓部分の變位をダイアル

ゲーデによつて讀定するのである。

この裝置によつて實驗される土質試料は、徑 5 cm、高さ 2 cm の圓錐形といふよりは寧ろ圓板をなしてゐるものである。試料の上下兩端には多孔質のものが入れてあつて、土質を壓縮する爲にその中から逐ひ出される水分を吸收させるやうにしてある。



第2圖

本報告に載せられた實驗資

料は

- (1) 深川區 深川公園内
- (2) 城東區 砂町第三國民學校々庭
- (3) " 大島第一國民學校々庭
- (4) 向島區 吾嬬第一國民學校々庭

の各處に於いて行はれた試錐より採取したものの中の一部である。主として砂と粘土とを含み、かなり多量の水分を含んでゐる。

これら各處の試錐から得られた土について、所謂土質試験が行はれてゐるのでそ

の結果を第I表に掲げる。この土質試験は、東京市土木試験所の星野技師等によつて行はれたものである。

この表により、大體土質の性質を知ることが出来るであらう。尙、表中の含水率及び含水比の値には若干の疑問がある。この表の値が正しいとすれば、自然状態に於いて土質に含まれる水分はかなりの多量になるが、試錐孔から試料を取出す際、相當に長時間水中に涵されてゐるので、實際の自然含水量よりも、水分が幾分が多いやうに見えるのではないかといふ疑が濃いのである。

その他の量は、有効數字の桁数について多少の疑はある——掲出されてゐる數字の最後の桁までは必ずしも正しくはない——が、大體間違ひのないものであらうと思はれる。

3. 最初には、ある荷重を與へた時に、土質の變形が如何に進行するかを調べた。これは荷重を反復する場合に幾千の時間的間隔を以てするのが適當であるかを見當づけることを主要な目的とする。

試料は前掲の砂町第三國民學校々庭の試錐に於いて深さ 28m の個所から取出されたものである。與へた荷重は 100 kg 及び 300 kg で各々の場合につき 2 回実験を行つた。各實験毎に試料は大體同一ではあるが下記の程度に於いて多少の差異は免れない。即ち

試料 A 荷重 100 kg 或は載荷強度 1.27 kg/cm^2

真比重	2.538
見掛比重	1.537
含水率	44.95%
容積	157.00 cm^3
面積	78.54 cm^2

試料 B 荷重 100 kg 或は載荷強度 1.27 kg/cm^2

真比重	2.358
見掛比重	1.541
含水率	44.75%
容積	同前
面積	同前

試料 C 荷重 300 kg 或は載荷強度 3.82 kg/cm^2

真比重	2.538
見掛比重	1.516

含水率 46.20%

容積
面積} 同前

試料 D 荷重 300 kg 或は載荷強度 3.82 kg/cm^2

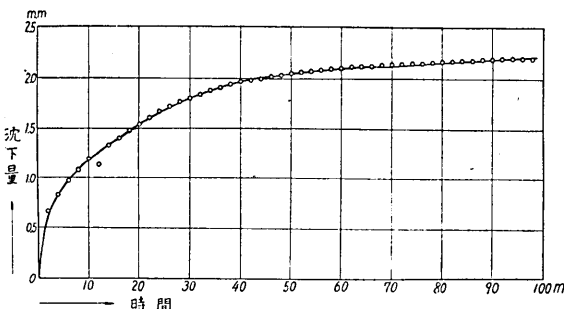
真比重 2.538

見掛け比重 1.513

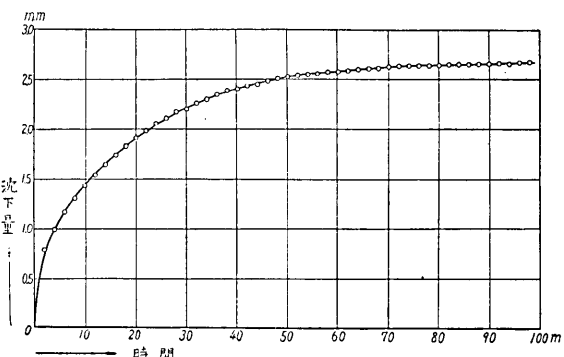
含水率 44.00%

容積
面積} 同前

である。斯様にこれらの試料は略々等しい状態にあり、たゞ加へた荷重が A, B の場合と C, D の場合とで異つてゐるだけである。即ち、前者では載荷強度 1.27 kg/cm^2 を與へられ、後者では載荷強度 3.82 kg/cm^2 が與へられて居る。



第3圖



第4圖

この実験の結果として得られた試料表面の収縮(沈下量) u の時間と共に變化する様子は第3乃至第6圖に示した通りである。

この圖から判る様に、収縮は時と共に進行し、その窮極における収縮量

A の場合は 約 2.20 mm

B " " 2.70 mm

C " " 3.52 mm

D " " 4.10 mm

に夫々漸近的に近づいてゆく。

斯様な現象は、粘弾性的變形³⁾ として取扱ふことも

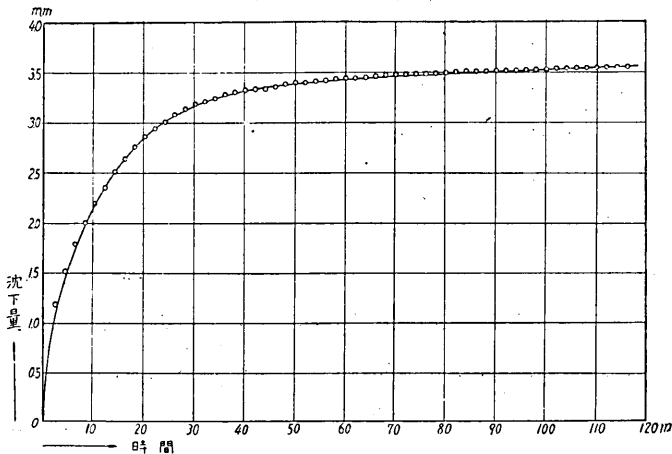
出来るが、一方又、K. Terzaghi⁴⁾ 等の行つたやうにもう少し収縮の機巧に立入つて

3) 石本巳四郎・飯田汲事 震研彙報 14 (1936), 534—542 等.

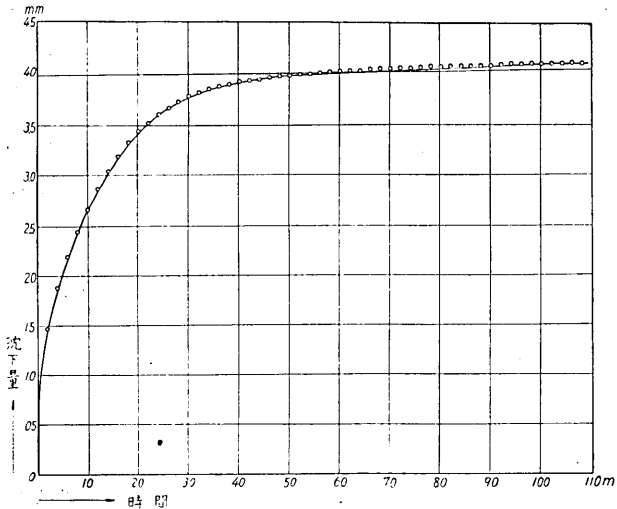
4) K. TERZAGHI-FRÖTICH, "Setzung von Tonschichten," Leipzig, 1936.

考へることも出来る。

後者の考へを踏襲し、(i) 外から土質に加へられた圧力はそのまま土質内の水分に加へられる、(ii) 加圧によつて土質内の水分が土質試料の上の表面から押し出され、



第 5 圖



第 6 圖

その押し出された水のためてゐた容積だけ壓された方向にのみ收縮する、といふことを假定すれば、土質内の水分の圧力 p に関しては、Terzaghi 等の方式に従ひ、Darcy の法則を利用することによつて

$$\frac{\partial p}{\partial t} = \frac{k}{\gamma \nu} \frac{\partial^2 p}{\partial z^2} \quad (1)$$

とすることが出来る。今表面からは水分が逸出し底部には不透水層があるとすれば $z=0$ では $p=0$, $z=h$ では $p=p_0$ である。之を境界条件を入れれば、(1) の解として。

$$p = \sum p_{0n} e^{-\frac{n^2\pi^2}{4h^2} \frac{k}{r\nu} t} \cos \frac{n\pi}{2} \left(1 - \frac{z}{h}\right) \quad (2)$$

となる。而して、表面の沈下量 u は

$$u = \nu \int_0^h \left\{ p_0 - p(z, t) \right\} dz. \quad (3)$$

で與へられるから之を計算して

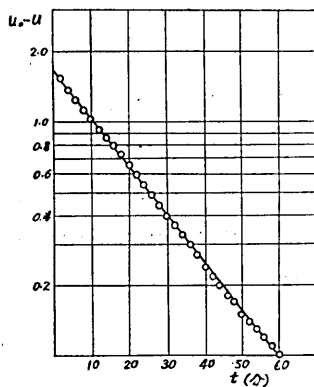
$$u = \nu h p_0 \left(1 - \frac{1}{p_0} \sum p_{0n} - \frac{2}{n\pi} e^{-\frac{n^2\pi^2 k}{4h^2 r\nu} t} \right) \quad (4)$$

が得られる。従つて $u_0 = \nu h p_0$ とすれば

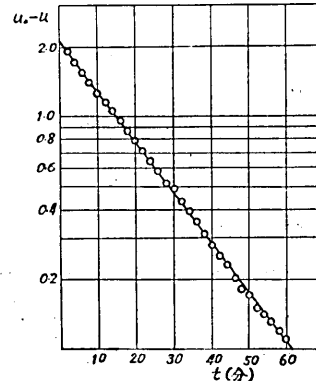
$$u_0 - u = \nu h \sum p_{0n} - \frac{2}{n\pi} e^{-\frac{n^2\pi^2 k}{4h^2 r\nu} t} \quad (4)'$$

である。

第3圖乃至第6圖に掲げた所の u と t との関係は正に斯様な関係になつてゐる。そこで斯様な関係を用ひれば、 $(\pi^2/4h^2)(k/r\nu)$ の値又は $k/r\nu$ の値を算出することが



第7圖

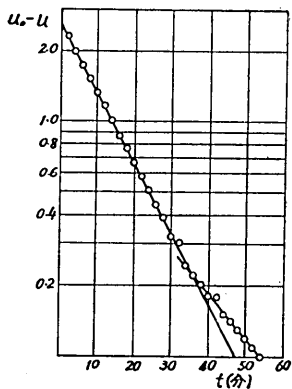


第8圖

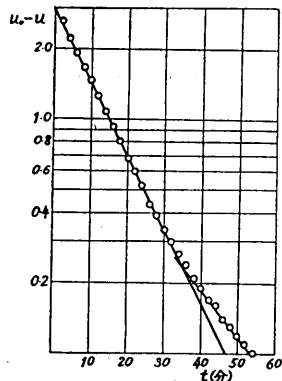
出来る。そこで、 u_0 の値を推定して $u_0 - u$ を作り $\log(u_0 - u)$ と t との関係を求めてみると、第7—10圖になり、この圖の直線の傾斜から $(\pi^2/4h^2)(k/r\nu)$ の値が求められる。

この圖に於いて見られる様に、A, B の場合に就いては $\log(u_0 - u)$ と t との關

係は一次函數的であるが、C, D の場合には 30 分位までは一次函數的であるけれども、その後は異つた一次函數で示されるやうに見える。尙、A, B, 及び C, D の前後半につき ($\pi^2/4h^2$) ($k/\gamma\nu$) の實効値を求めてみると



第 9 圖



第 10 圖

A の場合には	0.0083
B " "	0.0119
C " "	0.0231
D " "	0.0203
C, D の後半には	0.0067

となる。

このことは、この現象の決して單純でないことを示すものである。

A, B の實驗と、C, D の實驗とでは殆んどその載荷強度が異なるだけのことであるにも拘らず、C, D の實驗については $k/\gamma\nu$ の實効値が 2 種あるといふこと、又、その前半だけをとつても ($\pi^2/4h^2$) ($k/\gamma\nu$) の値が、A, B の場合の約 2 倍となつてゐること等は、載荷強度により、 k , ν 等の常数が變ることを意味するものと思はれる。

又、窮極の收縮量を用ひて、彈性係数類似の量を算出することが出来る。即ち土質試料の厚さ h 、收縮量 u_0 、加へた壓力 p とすれば

$$p/(u_0/h) = 11.5 \text{ kg/cm}^2 \quad (\text{A})$$

$$\text{''} = 9.4 \text{ ''} \quad (\text{B})$$

$$\text{''} = 21.7 \text{ ''} \quad (\text{C})$$

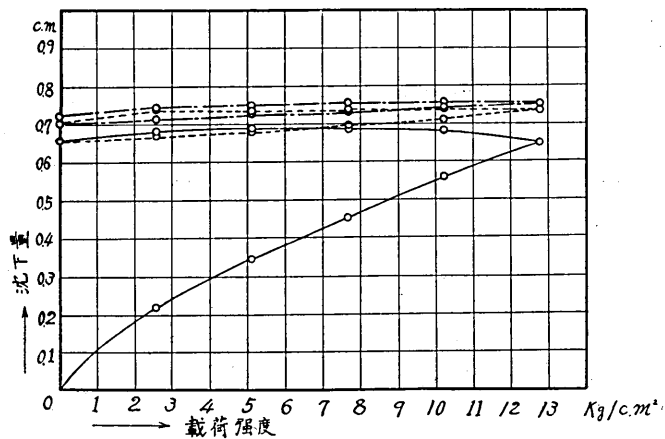
$$\text{''} = 18.5 \text{ ''} \quad (\text{D})$$

となり、これも亦、C, D における値は、A, B における値の約 2 倍となつてゐる。若し 単一な物質で、單純な現象であるならばこれらの値は何れも夫々略等しかるべきであるに拘らず、斯様に系統的に異つた値を示すのは、“外壓によつて土質中に含

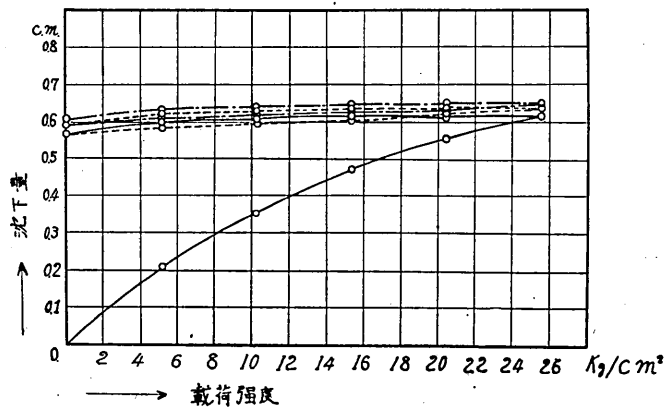
まれる水分が押し出される”といふ現象が普通に考へられるやうな單純な現象ではなくて、 k や ν の値が、變化し、遙かに複雑な現象であるかの如くに思はれるのである。

以上の如く單に土質試料に荷重を加へて之を壓縮する際にもこの程度の複雑な事情があるので、以下に報告する所の荷重を繰返し加へた場合の變形に於いても、諸種の複雑な現象が見出されるものと期待される。

4. 荷重を反復加へた場合の土質試料の變形も今迄の實驗と全く同じ裝置を用ひて測定された。



第 11 圖



第 12 圖

その豫備的な實驗として、先づ、土質試料に對して毎 5 分間に 400 kg 級の割合で荷重を増し、次に之と同じ割合で減らして行つた場合に變形が如何になるかを調べ

た。その時の載荷強度と変形との関係は、第11~12図に示してある。

この各圖に對する試料の相異點はその含水率だけである。第11図の方は、自然狀態のまゝで實験に供した場合の結果であり、第12図の方は少し水を加へ前者が含水率45~46%で自然狀態のまゝであるに對し、後者は含水率51%位で流出限界の含水率に近い場合である。

この結果によると、含水率の多い場合の方が、變形が稍々大きい。而して、荷重を反復する場合には、履歴曲線の如きものを描くが、その曲線によつて夾まれる圖上の面積はかなり小さく。又、往復の平均は、横軸の平行線との傾斜が非常に小さい。即ち、一度ある程度まで變形させた後は荷重を除いても復原せず而してその後は變形し難くなる傾向を有する。又荷重を反復すると、履歴曲線は次第に全體として圖上で上方に移行する。といふことは單に荷重を反復するだけで、變形は一方向へ進行してゆく傾向が見えるといふことになる。

以上のことから、荷重を反復して與へ變形の一方的な進行を調べやうといふ場合に一定の荷重を單に加へたり取去つたりしただけでも充分その様子を調べることが出来るといふことと、含水率の差異により變形量に多少の差異があるといふことが知られる。

そこで、以後の實験では、單に一定の荷重を加へたり除いたりして行つた。

5. 上述の様に土質試料の變形は、含水率によつても異り、載荷強度によつても異なるのでその點をもう少し調べてみた。

(イ) 含水率の影響を調べるには、砂町第三國民學校々庭から採取した砂質粘土を試料として用ひ、載荷強度を 3.82 kg/cm^2 に一定してこの載荷強度を 50 分毎に加へたり除いたりして變形の進行の有様を調べたのである。この程度の載荷強度では大體40分位で變形の大部分を終結することは既に述べた通りである。含水率は 50.75% の場合、36.3% の場合 28.25% の場合について實験を行つた。その結果は第II表に示してある。

この實験の結果として認められることは、第一に當然のことではあらうが、含有水分が多くなると土質は變形し易くなる傾向があること。第二には、荷重を一度加へた後にこの荷重を除去すると土質表面は膨れてある程度まで原状に戻る傾向を示すが、その戻り方は、28.25% の水を含むものと 36.3% の水分を含むものとの間にはかなり著しい差異があるけれども、含水率 36.3% のものと含水率 50.75% の土質とはその値が殆ど同じ位といふよりは寧ろ後者におけるものの方が少さくなつて居り變形し易さが含水率 28% と 36% との中間で比較的急激に變化するのではないかと想像

されることである。尙一度荷重を加へそれから之を取除いた後に更にもう一度加へた時、最初の荷重による変形と二度目の荷重による変形との間の差——その間の永久変形が、回数を重ねるに従つて減少する傾向の見える點は注目に値すると思はれる。この點は後に更に詳しく調べた結果について述べるであらう。

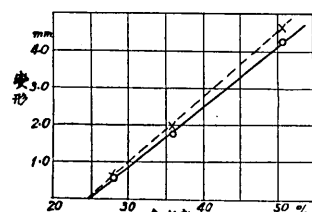
第 II 表

含水率 50.5%		含水率 36.3%		含水率 28.25%	
載荷強度 kg/cm ²	沈下量 mm	載荷強度 kg/cm ²	沈下量 mm	載荷強度 kg/cm ²	沈下量 mm
3.82	4.29 ₅	3.82	1.73 ₀	3.82	0.61 ₇
0	3.64 ₀	0	1.05 ₀	0	0.32 ₅
3.82	4.49 ₁	3.82	1.92 ₅	3.82	0.61 ₆
0	3.92 ₀	0	1.24 ₅	0	0.34 ₅
3.82	4.66 ₅	3.82	1.98 ₅	3.82	0.62 ₅
0	4.05 ₀	0	1.35 ₅	0	0.36 ₅
3.82	4.72 ₀				0.63 ₀

又、第一に挙げた、含水率と最初の変形量との関係は第 13 図に示した通り殆ど直線的であるが、この関係が飽くまでも成立するものとすれば、変形が 0 となるところで含水率は約 25% になる。更に第三回目に荷重を加へた時の変形との関係をみるとそれは第 13 図に×で示してあるやうに、第 1 図目の変形量をとつた時とは稍々傾度が異りしかも変形が 0 になる含水率はやはり 25% の近くになる。

これは、或は斯様な圖上の點を直線で連ね之を延長するといふことが意味のないことであるかもしれないが、こゝに用ひた土質試料が粘土であつて、それが充分硬化する爲には若干の水分が必要な筈であるから、丁度、その水分に相當するのではないかとも思はれる。この點は別の機會に尙よく確かめるつもりである。

(ロ) 次に、今度は、大體等しい含水率を有する土質試料が異なる載荷強度に對する変形を調べてみた。土質試料はやはり砂町第三國民學校々庭の試錐より採取されたもので、比較的砂土を多く含むものである。その機械分析は



第 18 圖

中粒砂	1.8%
細粒砂	19.9"
微粒砂	36.9"
沈泥(シルト)	29.6"
粘土	11.8"

である。含水率は(イ)20.55% (ロ)20.55% (ハ)22.95%で、載荷強度は(イ)に 5.10 kg/cm^2 (ロ)に 2.55 kg/cm^2 (ハ)に 1.27 kg/cm^2 である。荷重の加へ方は前實驗の如く、50分毎に加へたり除いたりする。その結果は第III表に示してある。

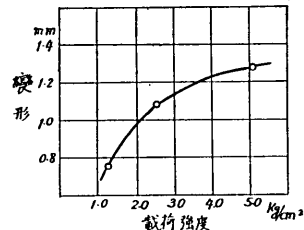
第 III 表

含水率 20.55%		含水率 20.65%		含水率 22.95%	
載荷強度 kg/cm^2	沈下量 mm	載荷強度 kg/cm^2	沈下量 mm	載荷強度 kg/cm^2	沈下量 mm
5.10	1.27 ₈	2.55	1.07 ₇	1.27	0.76 ₂
0	1.26 ₀	0	1.04 ₄	0	0.74 ₀
5.10	1.30 ₃	2.55	1.09 ₉	1.27	0.77 ₅
0	1.28 ₅	0	1.06 ₀	0	0.74 ₆
5.10	1.32 ₀	2.55	1.11 ₀	1.27	0.78 ₄
0	1.30 ₇	0	1.07 ₆	0	0.75 ₁
5.10	1.32 ₃	2.55	1.12 ₁	1.27	0.79 ₃
0	1.31 ₁	0	1.09 ₃	0	0.76 ₉
5.10	1.32 ₉	2.55	1.12 ₉	1.27	0.80 ₂

この場合にも、次々の荷重の際の變形に差があり、その差が回数の進むにつれて減少する傾向がある。又、最初の變形は、荷重について直線的に増減するのではなく、第14圖に示す様に、荷重が増すとともに變形の増し方は減する。このことは既に前節に於いて述べた實驗の結果と一致する。

6. 前述の如く、土質試料に一定の荷重を加へたり除いたりすると、その變形が漸次に進行してゆくのであるが、その變形進行の模様を調べるに際して色々異った條件を與へて之を行つた。第一の實驗は略々同一の但し含水量の異つた二組の試料を作り、各組につき載荷強度を變へて變形進行の模様を観察した。この實驗では荷重を加へてから除くまで及びそれから再び加へるまでの時間を各50分とした。既述の實驗結果によれば、この程度の時間的間隔をおけば荷重を加へてからそれに相當する變形に到達するまでの時間が、載荷強度が 3.82 kg/cm^2 以上であれば、これより短かいからよいが、載荷強度 1.27 kg/cm^2 の時はその時間として約80分を要するので、少し足りないかもしれない。

試料は、向島區吾嬬第一國民學校々庭の試錐より採取されたもので、機械分析の結果は



第14圖

粗 粒 砂	2.20%
中 粒 砂	8.60"
細 粒 砂	39.10"
微 粒 砂	22.52"
沈 泥	17.13"
粘 土	9.75"

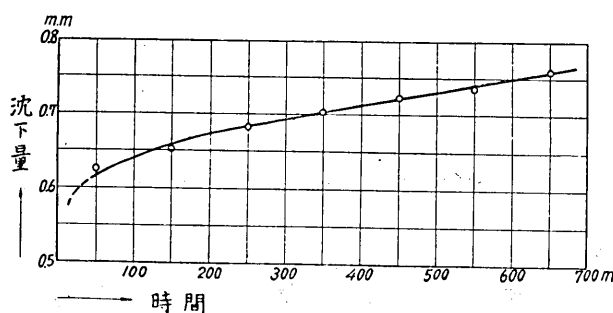
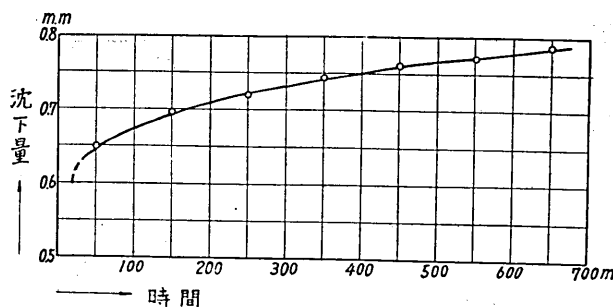
である。含水率は一々の試料について些少の變動があるから之を第 IV 表に載荷強度と共に示してある。

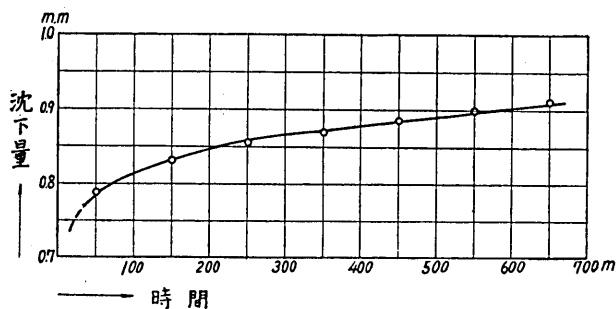
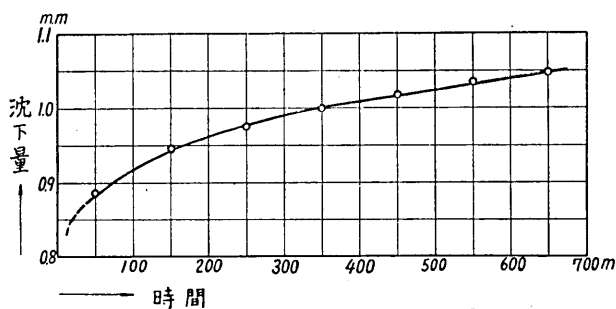
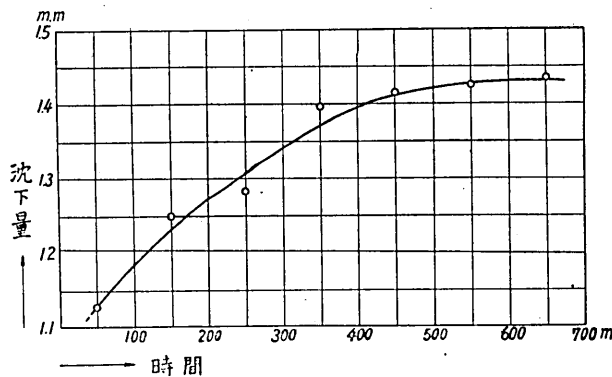
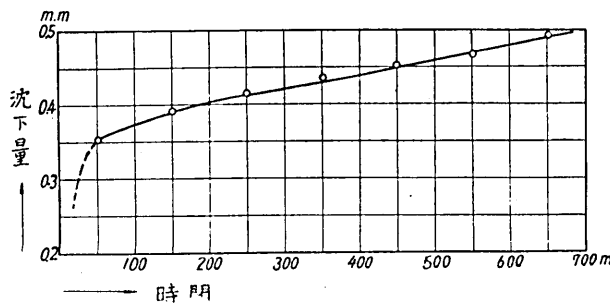
第 IV 表

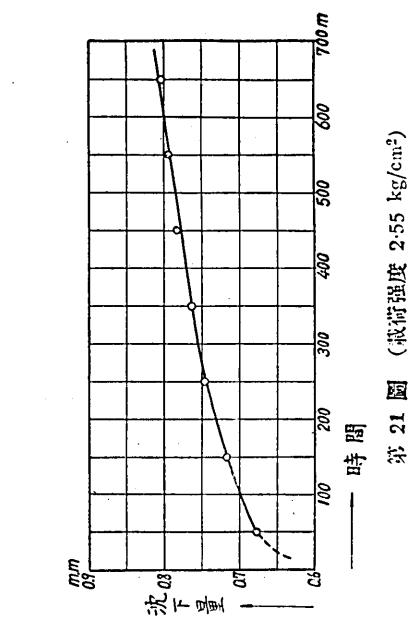
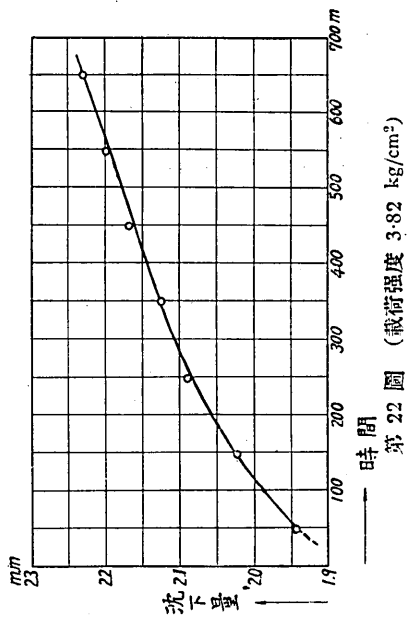
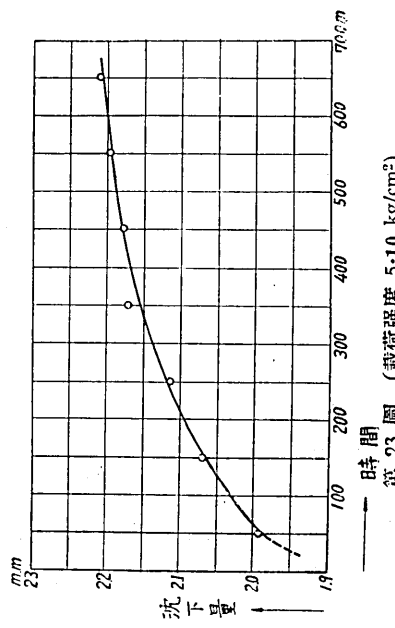
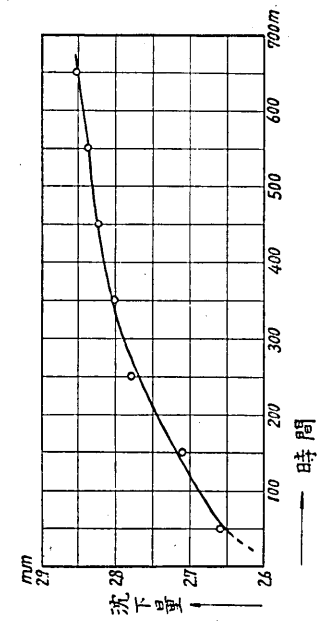
載荷強度	含水率	
	I	II
1.27 kg/cm ²	23.20%	4.50%
2.55 "	20.60"	8.40"
3.82 "	23.35"	8.95"
5.10 "	21.50"	6.00"
6.37 "	20.97"	8.75"

載荷の反復は一個の試料につき 7 回宛之を行ひ、載荷時の變形量の變化を示す曲線を作つてみると、第 15 乃至 24 圖の如きものとなる。その中第 15~19 圖の曲線は、I 組の試料に關するもの第 20~24 圖は、II 組の試料に關するものである。

この結果によると含水率の多少は變形の進行に關してあまり影響がないかのやうに見

第 15 圖 (載荷強度 1.27 kg/cm²)第 16 圖 (載荷強度 2.55 kg/cm²)

第 17 圖 (載荷強度 3.82 kg/cm^2)第 18 圖 (載荷強度 5.10 kg/cm^2)第 19 圖 (載荷強度 6.37 kg/cm^2)第 20 圖 (載荷強度 1.27 kg/cm^2)

第 21 圖 (載荷強度 $2.55 \text{ kg}/\text{cm}^2$)第 22 圖 (載荷強度 $3.82 \text{ kg}/\text{cm}^2$)第 23 圖 (載荷強度 $5.10 \text{ kg}/\text{cm}^2$)第 24 圖 (載荷強度 $6.37 \text{ kg}/\text{cm}^2$)

える。そこで更に試みに、最初の載荷時の変形と7回目の載荷時の変形との差をとつてみると、第V表のやうな結果を得る。

第 V 表

載荷強度	I	II
1.27 kg/cm ²	0.135 mm	0.137 ₅ mm
2.55 "	0.136 ₅	0.126
3.82 "	0.120 ₅	0.288
5.10 "	0.160 ₅	0.218
6.37 "	0.304	0.191

即ち、水分の多い場合の方が、幾分かよけいに変形するやうな傾向が見えるが、この點は資料が過少で確かなことは言へない。又、最初の載荷時の変形を見ると、第VI表に掲げたやうなものである。

又この関係を圖に表はしたもののは第25圖

第 VI 表

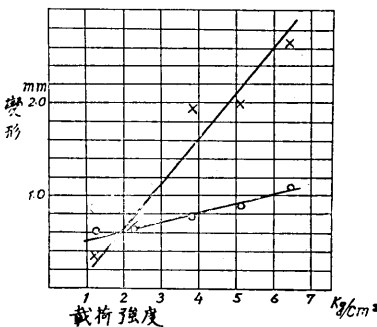
載荷強度	I	II
1.27 kg/cm ²	0.624 ₅ mm	0.354 mm
2.55 "	0.649 ₅	0.677 ₅
3.82 "	0.787	1.943 ₅
5.10 "	0.885 ₅	1.993
6.37 "	1.128 ₅	2.659 ₅

であつて、この結果から見ると、水分が多くても少くとも載荷強度と最初の変形との関係は左程簡単なものではないことが判る。共通な點は、載荷強度 5.10 kg/cm² と 6.37 kg/cm² の間で何れの場合も幾分変形し易くなるといふことである。又水分の少ない場合はその多い場合に比較して、載荷強度の小さい間は変形が小さいが、載荷強度が大きくなるとかなりまで大きくなる。

尚次々の載荷時の変形の差は載荷回数と共に如何に變化してゆくかといふことを調べてみると、何れもかなりの偏倚はあるが略直線的に進行し載荷の反復回数を増すに従つて減少するかに見える。又その値は大きいところで一回の差に於いて 0.04~0.05 mm を示し最大 0.08 mm に及ぶものもある。

次の實驗においては、載荷強度が 1.27 kg/cm² の各々の場合につき、載荷を反復する時間を各 30 分、20 分 10 分とかへて、その各々の場合に生ずる変形の進行状態を調べた。既に述べたやうに、載荷後 40 分乃至 80 分を経なければ、その載荷に對應する窮極の変形量には達しない。それ故、載荷してから之を除くまで、或はその逆の場合の時間的間隔が短かければ、変形が充分進行して窮極値に達しない爲の影響があらはれる筈である。

この實驗に供せられた試料は城東區大島第一國民學校々庭の試錐より採取したもの



第 25 圖

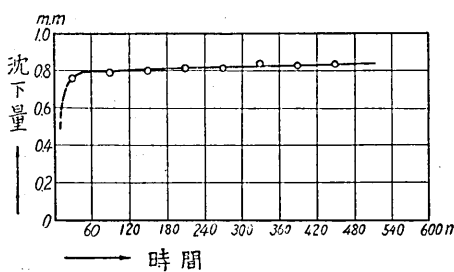
でその機械分析の結果は

粗 粒 砂	0.1%
中 粒 砂	1.6"
細 粒 砂	27.8"
微 粒 砂	31.9"
沈 泥	28.4"
粘 土	9.9"

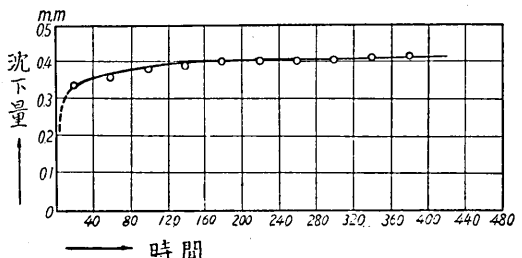
となつて居り、前述の実験に用ひられた土質試料よりも、微粒砂、沈泥の量が比較的多くなつてゐる。又、個々の実験試料についてはその含水率が多少異なるので、之を表に示せば第 VII 表のやうな値である。

第 VII 表

実験番號	載荷の時間々隔	I 載荷強度 1.27 kg/cm ²	II 載荷強度 2.55 kg/cm ²	III 載荷強度 3.82 kg/cm ²
1	30分	18.9 %	22.35 %	22.15 %
2	20分	17.75 "	17.9 "	19.43 "
3	10分	20.75 "	20.55 "	22.0 "



第 26 圖 (載荷強度 1.27 kg/cm² 時間々隔 30 分)



第 27 圖 (載荷強度 1.27 kg/cm² 時間々隔 20 分)

斯くの如く、含水率に若干の差異がある爲その影響も實験の結果に含まれるかもしれない。實験の結果求められた載荷時の変形量の載荷回数とともに變化する有様を示したのが第 26~34 圖である。

最初の載荷時の変形量は、10分、20分、30分の各時間々隔を以て測られたものであるが、それはその時間々隔と共に對數函數的に増してゆき、そのさまは第 2 節に述べた所と略一致する。

又第 26~34 圖に示された結

果では、變形がその初めの状態に於いては比較的急に増すが、3 回目又は 4 回目以後からは略々直線的に増すやうに見える。其處で、3 回目から 7 回目の載荷時までの

変形の增量を調べてみると第VIII表の如き結果を得る。

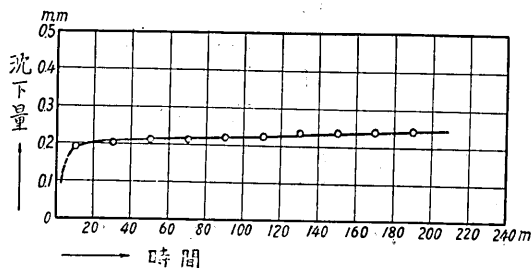
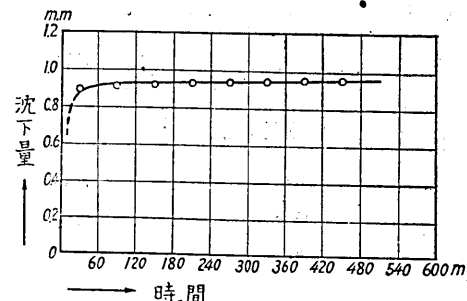
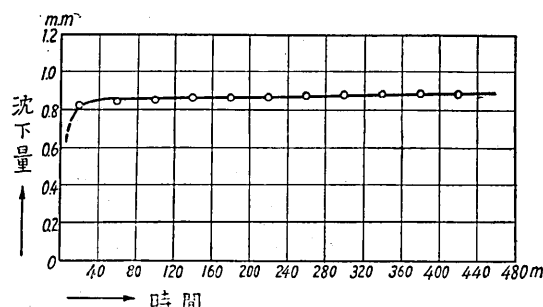
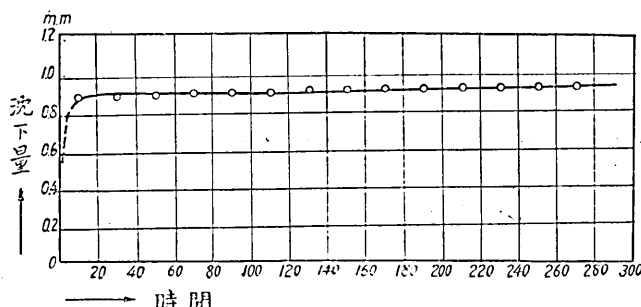
第 VIII 表

實驗 番號	載荷強度		
	I	II	III
1	mm 0.026	mm 0.0216	mm 0.026
2	0.014	0.026	0.021
3	0.020	0.019	0.0216

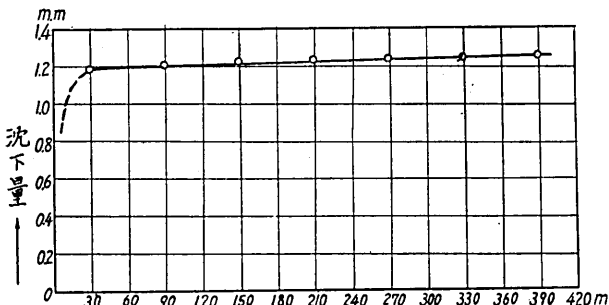
この結果はかなり區々であるけれども 大體 載荷強度が大きくなれば、變形の變化も大きくなる傾向があり、且つ載荷反復の時間的間隔が短かくなれば、變形の進行しが遅くなる傾向がある。これらの點は更に實驗回数を重ねてみなければ、もう少し明瞭なことは言へないであらう。

7. 本實驗に於いて観察された點を要約すると次の3項目となる。

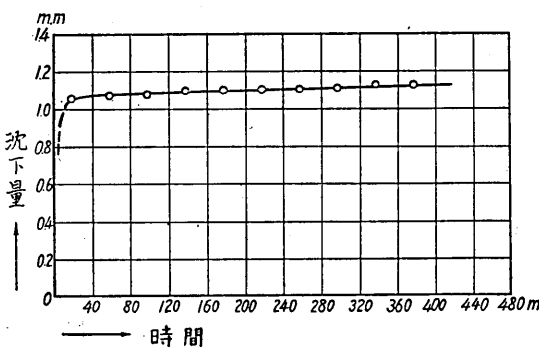
(1) 一定の壓力を土質試料に加へた時、その試料の變形は時と共に増加してある一定

第 28 圖 (載荷強度 1.27 kg/cm^2 時間々隔 10 分)第 29 圖 (載荷強度 2.55 kg/cm^2 時間々隔 30 分)第 30 圖 (載荷強度 2.55 kg/cm^2 時間々隔 20 分)第 31 圖 (載荷強度 2.55 kg/cm^2 時間々隔 10 分)

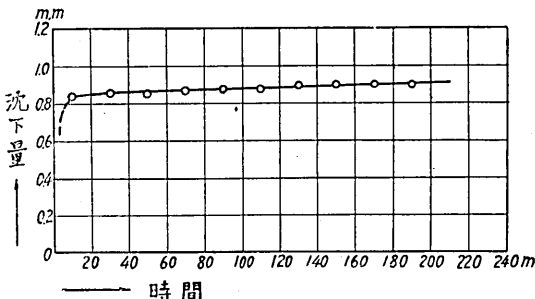
値に近づく。而してその變形の極限値は、載荷強度が増すと共に増加するが、その關係は必ずしも直線的ではない。



第 32 圖 (載荷強度 $3.82 \text{ kg}/\text{cm}^2$ 時間々隔 30 分)



第 33 圖 (載荷強度 $3.82 \text{ kg}/\text{cm}^2$ 時間々隔 20 分)



第 34 圖 (載荷強度 $3.82 \text{ kg}/\text{cm}^2$ 時間々隔 10 分)

(2) この變形の極限値は土質試料中の含水率の多少によつて異り、含水率が減少すれば小さくなる。而して變形が 0 となる時若干の含水率が残る。載荷強度が變ると變形と含水率との關係を示す直線の傾斜が僅少ながら變る。

(3) 載荷を繰返して行ふと變形が一方に進行する——この場合は永久的な收縮を生ずる。その變形の進み方は、土質中の含水率、載荷を繰返す時間的間隔の長さ等によつて多少異なるやうな傾向が見えるあまり確然としたことは言へない。

以上の實驗の結果を以て直に地盤の沈下現象を説明することは總當ではないと思はれるが、次の様なことは考へられる。

今、實際の地盤沈下及び實驗に於ける土質試料の變形が、全く靜力學的に起るとすれば、その表面の沈下量 u と u' とは第 3 節 (4) 式により、

$$u = \text{const} \cdot ph, \quad u' = \text{const} \cdot p'h'$$

とすることが出来やう。 p は實際地盤表面に加はる壓力， p' は實驗における壓力， h は收縮する地盤層の厚さ， h' は土質試料の厚さとする。この實驗では，試料は實際の沈下地域の土であるから，上の兩式の Const. は等しいと考へられる。其故

$$\frac{u}{u'} = \frac{ph}{p'h'}$$

である。そこで，實驗に於いて實際の場合と同じ地下量を實現しやうとするならば u/u' を 1 にすべきである。従つて

$$\frac{p}{p'} = \frac{h'}{h}$$

となる。然るに $h' = 2.0 \text{ cm}$ $h = 30 \text{ m} \sim 40 \text{ m}$ であるから。假りに $h = 40 \text{ m}$ とすると

$$\frac{h'}{h} = \frac{2000}{1}$$

となる。従つて

$$p = \frac{p'}{2000}$$

である。 p' はこの實驗で最大の値が 6.37 kg/cm^2 であるから，それに對應する p の値は約 3.2 gr/cm^2 となりこれを水銀柱の高さに直せば 約 2.4 mm となる。これから考へれば， $2 \sim 3 \text{ mm Hg}$ の氣壓の變化があつてそれが繰返されれば，この實驗で求められた程度の地間の沈下が起り得るのではないかと想像される。しかも，實際の氣壓變化はもつと大きい場合が多いので，毎週 1 mm の沈下が，氣壓の不規則な或は規則的な變化によつて生ずる可能性はあり得るのではないかと思はれる。

併し，さうした場合に，地盤を構成する軟土層がそれに應するやうな性質を持つてゐなければならず，それはよいとしても，大正 10 年前後から現に觀測される沈下現象が始まつてゐるのであるが，その始まりがどうして起つたかの點については依然あまり確かではない。或は，この種の實驗を進めて行つたならばもう少し沈下現象の解説をなし得るやうな事實を捕捉することが出来るかも知れない。

今のところでは單なる想像に止めておく。

本實驗は、東京市土木局土木試験所に於いて行はれたものである。實驗に際して多大の援助を賜つた星野技師武藤技手その他の土木試験所職員諸氏に厚く御禮を申述べたい。

第 I 表 (A)

地盤沈下調査土質試験成績表

深度	剪断抵抗試験 凝聚力 kg/cm²	比重 θ	間隙率 %	間隙比 含水比	稠度限界				砂利 土		土粒度分析 %						土質名	含水率 %	含水比 %	灼熱減量 %	水素イオン濃度		
					流出限界		塑性限界	塑性指数	收縮限界		%	%	細石	粗粒砂	中粒砂	細粒砂	微粒砂	泥	粘土				
					粒度 mm 2.0-1.2	mm 1.2-0.8	mm 0.8-0.3	mm 0.3-0.15	mm 0.15-0.075	mm 0.075-0.005													
0~1	0.195	14°02'	2.500	0.3513	16	0.2630	0	100.00	0.200	2.100	6.000	10.10	13.700	29.800	38.100	口オム	31.00	0.4490	8.30	6.8			
1~2	足深入二付 測定不能	2.538	4.565	0.839	0.3670	0.2780	8	0.2250	0	100.00	0.501	3.403	13.213	26.527	16.817	23.023	16.516	砂質口松	30.25	0.4340	5.52	6.6	
2~3	0	0	2.529	53.249	1.138	0.4810	0.3071	17	0.2120	0	100.00	1.685	1.685	4.860	16.450	13.500	24.900	36.920	口オム	31.00	0.4499	7.16	6.6
3~4	0.030	0	2.476	62.180	1.645	0.6590	0.4650	19	0.3350	0	100.00	0.306	0.899	2.609	7.284	7.050	28.363	53.490	粘土質砂泥	42.50	0.7390	11.25	6.6
4~5	0.040	28°22'	2.560	47.300	0.89	0.2453	ナシ	—	0.1940	0	100.00	2.000	2.000	8.100	26.800	17.800	26.200	18.900	砂質口松	26.50	0.3660	3.89	6.6
5~6	1.200	21°18'	2.590	40.600	0.684	0.2900	ナシ	—	—	0	100.00	0.100	0.700	7.800	49.600	24.780	8.800	8.220	砂土	22.50	0.2863	3.71	6.6
6~7	0.070	12°57'	2.538	54.700	1.208	0.3810	0.2903	9	0.2730	0	100.00	0	0.200	1.200	8.000	11.200	56.200	23.200	泥質砂泥	33.00	0.4930	7.36	6.6
7~8	0.280	43°4'	2.631	61.500	1.595	0.4880	0.3151	17	0.2650	0	100.00	0	1.000	1.400	2.200	15.200	61.800	18.400	ナシ	37.75	0.6065	6.92	7.0
8~9	0.350	43°4'	2.488	64.550	1.821	0.7390	0.4380	30	0.3200	0	100.00	0.620	0.410	0.620	0.830	7.690	54.670	35.160	粘土質砂泥	43.00	0.7540	8.64	6.9
9~10	0.035	0	2.538	58.357	1.400	0.4970	0.3070	19	0.2340	0	100.00	0	0.100	0.300	0.440	6.040	47.100	46.020	ナシ	37.00	0.5870	7.35	7.2
10~11	0	4°34'	2.580	58.530	1.418	0.4650	0.3071	15	0.2010	0	100.00	0.510	1.230	1.030	2.050	25.820	44.160	25.200	泥質砂泥	35.00	0.5380	7.04	7.2
11~12	0.313	0	2.564	55.360	1.230	0.4920	0.3512	14	0.2580	0	100.00	0.500	0.800	1.000	1.200	23.200	47.400	25.900	ナシ	34.50	0.5275	6.70	7.2
12~13	0.095	8°32'	2.551	56.900	1.320	0.4440	0.3022	14	0.2470	0	100.00	0.405	0.506	0.809	1.920	17.206	50.404	28.750	ナシ	34.50	0.5260	6.85	7.2
13~14	0.260	2°18'	2.452	63.600	1.746	0.6790	0.4380	24	0.3330	0	100.00	0.201	0.401	0.602	1.405	9.240	60.441	27.710	ナシ	43.00	0.7540	8.48	7.1
14~15	0.344	0	2.568	58.530	1.411	0.4580	0.3330	12	0.2520	0	100.00	0	0.100	0.500	1.500	16.300	50.600	31.000	ナシ	35.00	0.5380	7.82	7.0
15~16	0.345	2°52'	2.501	57.200	1.335	0.4970	0.3700	12	0.3020	0	100.00	0	0.140	0.200	0.400	15.200	50.600	27.460	ナシ	36.50	0.5750	6.94	7.1
16~17	0.180	7°40'	2.533	57.460	0.742	0.4630	0.3423	12	0.2090	0	100.00	0.100	0.100	0.200	0.700	15.400	59.000	24.500	ナシ	35.00	0.5380	6.44	7.5
17~18	0.190	8°32'	2.494	56.700	1.312	0.5380	0.3600	17	0.2940	0	100.00	0	1.010	1.010	0.600	12.960	60.100	24.320	ナシ	35.50	0.5510	7.10	7.3
18~19	0.410	7°58'	2.507	56.400	1.294	0.4140	0.3514	6	0.2700	0	100.00	0	0.200	0.200	0.700	1.080	64.000	24.100	粘土質砂泥	35.00	0.5380	8.64	7.3
19~20	0.187	0°17'	2.516	55.580	1.234	0.4225	0.3070	11	0.2470	0	100.00	0	0.140	0.300	0.600	13.900	60.700	24.360	泥質砂泥	33.00	0.4920	6.20	7.0
20~21	0.160	12°24'	2.525	57.100	1.330	0.5320	0.3531	17	0.2830	0	100.00	0	0	0.200	0.200	4.700	61.400	33.500	粘土質砂泥	34.00	0.5150	7.05	7.2
21~22	0.295	6°50'	2.513	48.200	0.930	0.5560	0.3640	19	0.3060	0	100.00	0	0.030	0.200	0.380	10.700	61.200	27.490	ナシ	33.50	0.5040	6.50	7.2
22~23	0.260	14°18'	2.525	57.500	1.113	0.5250	0.3700	15	0.2830	0	100.00	0	0.120	0.200	0.480	8.000	57.800	33.400	ナシ	54.00	0.5150	7.01	6.9
23~24	0.230	12°25'	2.470	53.300	1.177	0.4690	0.3240	14	0.1600	0	100.00	0	0.020	0.040	0.400	16.000	55.800	27.740	泥質砂泥	32.50	0.4820	6.45	7.2
24~25	0.285	2°52'	2.543	51.350	1.055	0.3870	0.3070	8	0.2700	0	100.00	0	0.100	0.160	21.300	53.100	25.340	ナシ	30.00	0.4280	6.93	6.9	
25~26	0.300	9°32'	2.562	47.390	0.919	0.3900	0.2930	9	0.2030	0	100.00	0	0.040	0.100	0.340	22.700	55.600	21.200	ナシ	29.00	0.4080	5.09	6.85
26~27	0.220	18°46'	2.562	50.200	1.082	0.3660	0.2500	11	0.2280	0	100.00	0.100	0.100	0.100	1.800	32.600	44.400	20.900	ナシ	28.50	0.3990	5.48	7.0
27~28	0.210	16°57'	2.551	45.900	0.828	0.4030	ナシ	—	0.0761	0	100.00	0	0.040	0.100	1.100	30.300	49.400	19.060	ナシ	28.00	0.3890	4.51	6.9
28~29	0.380	8°32'	2.590	51.076	1.045	0.5120	0.2988	21	0.1660	0	100.00	2.240	3.870	6.930	9.580	5.710	25.700	45.970	ナシ	28.00	0.3890	6.70	7.0
29~30	0.120	15°07'	2.581	48.680	0.971	0.2905	ナシ	—	0.1770	0	100.00	0.300	0.600	3.300	10.400	27.200	36.500	21.600	口オム	27.50	0.3700	5.61	6.7
30~31	0.240	37°36'	2.717	52.300	1.098	0.2380	ナシ	—	0	100.00	0.200	0.200	2.800	39.600	35.000	16.140	6.060	砂土	16.00	0.1990	2.97	7.1	
31~32	0.100	6°51'	2.742	31.300	0.455	0.1860	ナシ	—	0	100.00	0.400	0.700	7.700	31.500	35.600	20.200	3.900	ナシ	13.80	0.1600	2.10	7.1	
32~33	2.718	ナシ</																					

第 I 表 (B)

地盤沈下調査土質試験成績表

深度 m	試鉗衝撃回数 Kg/cm²	圧縮試験 Kg/cm²	剪断抵抗試験 kg/cm²	比重	間隙率 %	間隙比	稠度限界		土粒度分析 %						土質名	含水率 %	含水比 %	燃熱減量 %	水素化 濃度					
							流出界限	塑性界限	塑性指数	液化指標	細石炭	粗粒砂	中粒砂	細粒砂	微粒砂	泥	粘土							
							含水比	含水比	含水比	含水比	20-12	12-06	06-03	03-01.5	01.5-00.5	<0.005								
0~1	85	0.24	20.5	0	0	2.532	67.8	2.11	0.71	0.49	2.2	0.19	0	0.2	0.4	1.4	6.5	51.4	40.1	粘土質	46.1	0.86	8.2	6.8
1~2	分	不能	不能	0.30	36.07	2.747	52.8	0.89	0.29	十シ	—	十シ	0.3	0.5	2.0	33.2	42.1	15.5	6.4	砂土	24.8	0.33	4.0	5.6
2~3	113	分	分	0.84	11.18'	2.703	55.3	1.24	0.27	分	—	分	0.1	0.3	13.6	56.6	18.5	8.7	2.2	分	18.5	0.23	2.1	5.9
3~4	171	分	分	0.70	17.44'	2.659	57.2	1.33	0.27	分	—	分	1.6	9.9	38.0	19.2	22.9	5.7	2.7	分	23.5	0.31	2.7	6.6
4~5	170	分	分	0.31	35.45'	2.717	39.9	0.66	0.22	分	—	分	0.3	2.0	26.0	50.9	11.7	7.0	5.1	分	17.9	0.22	2.9	6.6
5~6	171	分	分	不能	不能	2.763	49.2	0.97	0.26	分	—	分	1.0	2.0	26.0	40.8	25.2	4.4	0.6	分	17.0	0.20	2.0	6.6
6~7	142	0.31	20.6	0.50	31.47'	2.717	62.4	1.66	0.30	分	—	分	0.1	0.6	2.4	9.1	53.0	24.0	10.8	砂質冲积	24.8	0.33	3.1	7.2
7~8	114	0.33	13.0	不能	不能	2.632	53.1	1.13	0.40	0.30	1.0	0.27	0	0.1	0.4	1.4	23.2	54.2	20.7	泥炭質	30.5	0.44	4.4	7.8
8~9	86	0.30	19.6	0.12	4.51'	2.659	56.6	1.31	0.48	0.30	1.8	0.27	0.1	0.1	0.3	1.7	18.2	52.6	27.0	分	32.8	0.49	5.5	7.7
9~10	85	0.51	12.5	0.22	7.58'	2.590	60.9	1.56	0.61	0.43	1.8	0.29	0.1	0.2	0.3	0.8	0.55	58.1	35.0	泥炭質	37.8	0.61	6.8	7.6
10~11	分	0.33	19.1	0.03	21.4'	2.539	59.3	1.45	0.50	0.30	2.0	0.02	0.4	0.2	0.2	0.8	9.6	60.3	28.5	分	37.3	0.59	7.1	7.6
11~12	分	0.28	12.5	0.06	5.42'	2.646	62.0	1.63	0.56	0.36	2.0	0.27	0	0.3	0.2	0.4	4.2	54.3	40.6	分	38.8	0.63	6.4	7.4
12~13	分	0.40	14.0	0.25	3.26'	2.659	62.6	1.67	0.46	0.33	1.3	0.29	0.1	0.1	0.3	0.4	5.7	59.4	34.0	分	39.3	0.85	7.8	7.8
13~14	分	不能	不能	0.03	1.08'	2.577	66.3	1.96	0.59	0.36	2.3	0.26	0.1	0.3	0.4	0.3	4.0	54.4	40.5	分	42.7	0.75	8.3	7.8
14~15	分	0.29	12.7	0.21	1.43'	2.584	64.9	1.85	0.60	0.38	2.2	0.05	0	0.1	0.1	0.4	2.4	52.1	44.9	分	42.3	0.73	7.5	7.8
15~16	分	0.38	11.0	0.28	4.00'	2.519	64.9	1.85	0.65	0.55	1.0	0.29	0	0.3	0.2	0.3	2.9	47.0	49.3	泥炭質	43.2	0.76	8.9	7.7
16~17	分	0.38	15.0	0.22	4.00'	2.526	69.9	2.32	0.70	0.49	2.1	0.39	0.2	0.2	0.2	3.4	43.6	52.1	分	48.0	0.92	8.4	7.8	
17~18	分	0.46	14.3	0.27	2.77'	2.618	67.8	2.31	0.73	0.46	2.7	0.36	0	0.1	0.2	0.3	2.9	43.1	53.4	分	46.9	0.88	8.4	7.8
18~19	分	0.35	9.6	0.24	3.36'	2.513	69.1	2.23	0.69	0.59	1.0	0.31	0	0.2	0.2	0.4	2.8	42.1	54.3	分	47.2	0.89	10.0	7.7
19~20	分	0.63	10.5	0.39	1.08'	2.570	69.5	2.27	0.75	0.44	3.1	0.22	0.1	0.7	0.8	0.6	2.6	40.1	55.1	分	46.6	0.87	8.9	7.5
20~21	分	0.43	12.0	0.11	4.24'	2.544	69.7	2.30	0.82	0.50	3.2	0.31	0	0.1	0.1	0.2	1.2	35.3	63.1	分	47.5	0.90	8.9	7.6
21~22	分	0.39	12.1	0.14	1.36'	2.564	69.8	2.31	0.76	0.49	2.7	0.34	0	0.2	0.1	0.2	1.4	39.5	58.6	分	47.8	0.91	10.0	7.3
22~23	分	0.35	25.0	0.07	7.51'	2.500	68.2	2.15	0.83	0.46	3.7	0.33	0.1	0.3	0.4	0.5	1.3	35.0	62.4	分	46.3	0.86	8.2	7.5
23~24	分	0.54	38.6	0.19	3.08'	2.531	69.3	2.26	0.81	0.42	3.9	0.39	0	0.1	0.1	0.1	1.1	36.8	61.8	分	47.6	0.91	8.8	7.5
24~25	分	0.50	17.0	0.05	9.55'	2.506	70.0	2.33	0.78	0.52	2.6	0.30	0	0.1	0.1	0.1	2.7	42.6	54.4	分	48.6	0.95	9.5	7.6
25~26	分	0.14	13.9	0.35	2.38'	2.489	69.4	2.23	0.89	0.54	3.5	0.38	0	0	0	0.2	2.3	3.55	62.0	分	48.5	0.94	8.2	7.5
26~27	分	0.80	23.4	0.42	1.49'	2.559	71.4	2.49	0.88	0.54	3.4	0.34	0	0	0	0.1	1.7	38.0	60.2	分	49.7	0.99	9.6	7.3
27~28	分	0.68	14.0	0.38	0	2.538	68.0	2.12	0.82	0.49	3.3	0.31	0	0	0	0.2	1.7	41.6	56.5	分	49.7	0.84	8.6	7.3
28~29	分	0.78	15.6	0.25	2.51'	2.597	70.8	2.42	0.84	0.50	3.4	0.38	0	0	0	0.1	2.0	41.4	56.5	分	48.6	0.94	9.5	7.4
29~30	分	0.65	12.0	0.34	0.34'	2.604	68.9	2.22	0.93	0.55	3.8	0.40	0	0	0.4	0.1	1.0	39.2	59.3	分	44.0	0.79	9.7	7.3
30~31	分	0.69	10.8	0.23	2.17'	2.525	67.9	2.11	0.81	0.44	3.7	0.34	0	0.1	0.2	0.3	1.2	39.7	58.5	分	44.3	0.79	8.9	7.2
31~32	分	1.26	12.5	0.69	2.17'	2.645	67.5	2.07	1.00	0.52	4.8	0.35	0	0.1	0.1	0.3	0.9	38.8	59.8	分	45.3	0.82	8.6	7.2
32~33	分	不能	不能	0.02	9.05'	2.757	57.4	1.35	0.40	0.28	1.2	0.25	0	0.2	0.3	3.0	29.9	46.8	19.8	泥炭質	30.8	0.44	6.2	7.8
33~34	分	0.66	13.9	0.15	2.51'	2.500	71.3	2.49	0.92	0.51	4.1	0.36	0	0.2	0.2	0.3	1.7	39.8	57.8	泥炭質	47.0	0.89	9.0	7.4
34~35	456	0.45	21.0	0.37	5.42'	2.494	68.5	2.18	0.83	0.55	2.8	0.34	0	0.2	0.1	0.3	2.0	36.6	60.8	分	46.3	0.86	9.0	7.6
35~36	分	1.00	39.1	0.83	6.16'	2.688	48.2	0.93	0.39	十シ	—	0.22	0	0.3	0.7	3.2	11.2	41.6	43.0	ローム	24.3	0.32	5.2	7.3
36~37	分	0.59	25.0	0.47	2.51'	2.591	49.7	0.99	0.35	0.26	9	0.25	0	0.1	0.7	2.4	26.8	43.3	26.7	分	27.5	0.38	5.8	7.2
37~38	798	0.53	14.5	0.42	3.08'	2.564	45.6	0.84	0.30	十シ	—	0.17	0	0.1	0.2	0.7	7.5	66.6	24.9	粘土質	25.3	0.34	5.3	7.0
38~39	8771	0.86	23.4	0.02	4.349	2.659	46.8	0.88	0.32	分	—	0.23	0	0.1	0.8	0.8	174	64.0	16.9	泥炭質	24.8	0.33	4.0	7.0
39~40	4771	0.75	39.7	0.43	9.25'	2.709	49.2	0.97	0.28	分	—	0.21	0	0.1	0.2	0.9	11.0	67.5	20.3	粘土質	26.3	0.36	5.2	7.4
40~41	4731	0.85	20.6	0.23	19.77'	2.611	40.4	0.68	0.31	分	—	0.22	0	0	0.1	0.4	11.5	70.8	17.2	分	24.3	0.35	4.7	7.2
41~42	14250	0.78	29.8	0.59	10.7'	2.551	46.2	0.86	0.32	分	—	0.19	0	0.2	0.5	0.7	6.1	71.7	20.8	分	25.0	0.33	5.1	7.2
42~43	11200	0.38	1																					

13. A Mechanical Property of Soil.

By Naomi MIYABE,

Earthquake Research Institute,

and Yosi INABA,

Research Institute for Civil Engineering, Tokyo Municipality.

Resumé

Soil specimens taken from core borings in the Koto district of Tokyo, where the ground surface has subsided remarkably owing to shrinkage of the soil layer, was subjected to intermittent pressure of certain strength. With application of pressure, the specimen of the soil deformed, but, upon its release, much of the deformation remained unaltered. Cumulative application of intermittent pressure thus results in permanent deformation.

Permanent deformation was found to be affected by the

- (i) water contents of the soil specimen,
- (ii) magnitude of pressure applied,
- (iii) time interval between successive applications of pressure,
- (iv) physical constituents of soil, i. e., *mechanical ratio*, etc.

The possibility of invoking this result in explaining the phenomenon of ground sinking in the Koto district was discussed.
